

## O Problema de Fluxo Máximo

### 1 - Motivação e Exemplo Introdutório

A Figura 1 abaixo mostra um grafo orientado  $G_O = (N, A_O)$  em que o nó  $s$  representa uma região produtora de soja e o nó  $t$  representa o porto exportador deste produto. Os arcos desta rede (grafo) representam a malha viária (estrada, ferrovia, rodovia) que pode ser utilizada para o transporte da soja. Para cada arco orientado  $(x, y)$  deste grafo há um parâmetro  $c(x, y)$  que impõe um limite para o fluxo por unidade de tempo,  $f(x, y)$ ; isto é  $f(x, y) \leq c(x, y)$ . Tal parâmetro é chamado de capacidade do arco  $(x, y)$ . As seguintes questões são pertinentes: Qual é o fluxo máximo que pode ser levado da região produtora de soja até o porto? Ele dará conta do volume previsto para a safra? Caso seja insuficiente, onde estão os gargalos da rede viária? O desenvolvimento que se faz a seguir fornece respostas para tais questões. O ponto de partida será a formulação do modelo matemático do problema de fluxo máximo para esse exemplo introdutório ilustrado na Figura 1.

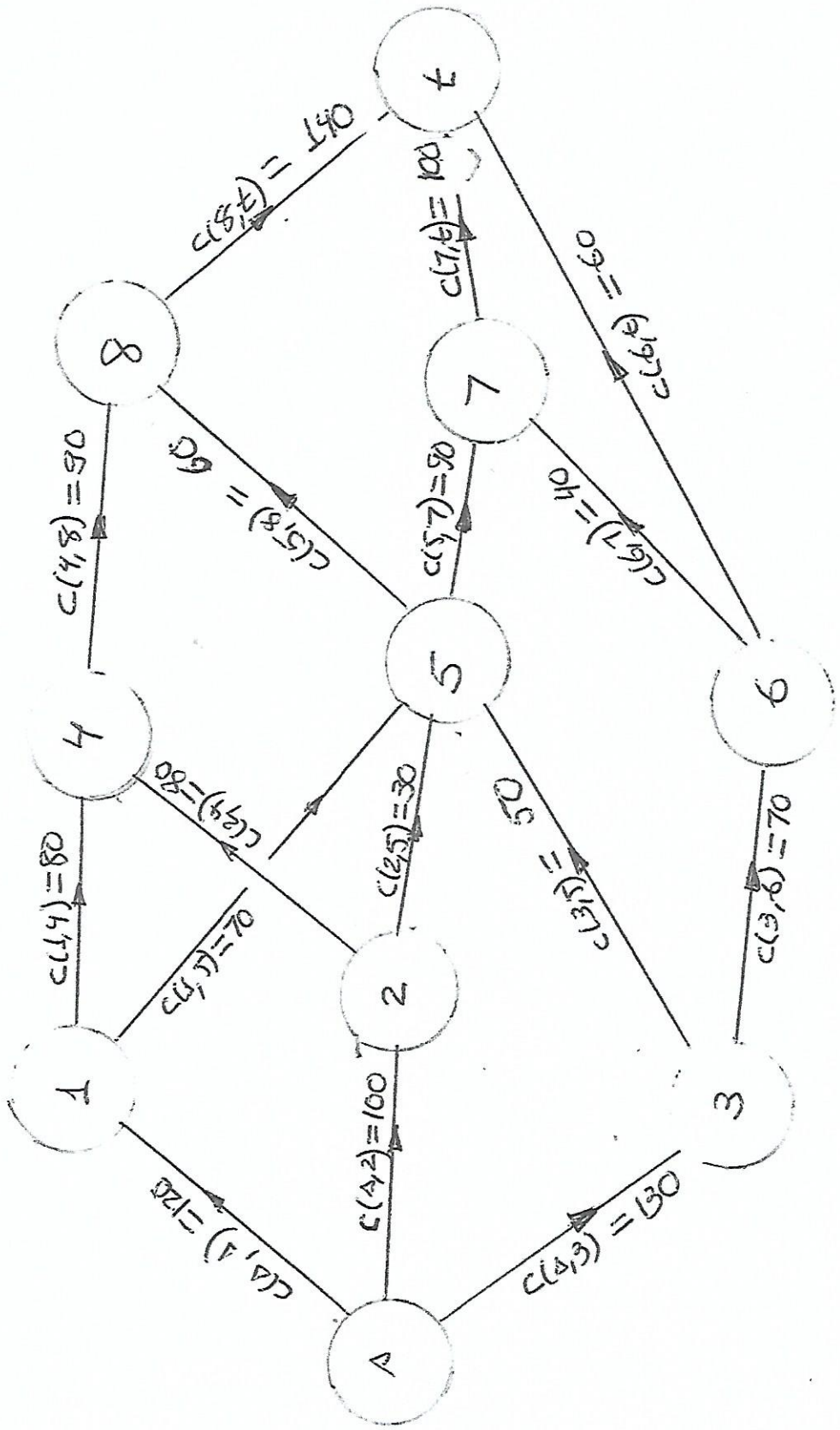


Figura 1 Malha vicinal com capacidades ligando a região produtora de Soja A ao ponto expóndor t.

## Modelo Matemática

Variável de decisão: sejam  $f(x,y)$  o fluxo em cada arco orientado do grafo da figura 1 e  $v$  o fluxo entre os nós 1 (nó da produtora) e 8 (porto exportador)

O modelo matemático é o seguinte:

maximizar  $v$

sujeto às restrições

$$f(1,1) + f(1,2) + f(1,3) = v$$

$$f(1,4) + f(1,5) - f(1,1) = 0$$

$$f(2,4) + f(2,5) - f(1,2) = 0$$

$$f(3,1) + f(3,6) - f(1,3) = 0$$

$$f(4,8) - f(1,4) - f(2,4) = 0$$

$$f(5,7) + f(5,8) - f(1,5) - f(2,5) - f(3,5) = 0$$

$$f(6,7) + f(6,8) - f(3,6) = 0$$

$$f(7,4) - f(5,7) - f(6,7) = 0$$

$$f(8,4) - f(4,8) - f(5,8) = 0$$

$$-f(6,4) - f(7,4) - f(8,4) = -v$$

$$0 \leq f(1,1) \leq 120$$

$$0 \leq f(1,2) \leq 100$$

$$0 \leq f(1,3) \leq 130$$

$$0 \leq f(4,4) \leq 80$$

$$0 \leq f(1,5) \leq 70$$

$$0 \leq f(2,4) \leq 80$$

$$0 \leq f(2,5) \leq 30$$

$$0 \leq f(3,5) \leq 50$$

$$0 \leq f(3,6) \leq 70$$

$$0 \leq f(4,8) \leq 90$$

$$0 \leq f(5,7) \leq 90$$

$$0 \leq f(5,8) \leq 60$$

$$0 \leq f(6,7) \leq 40$$

$$0 \leq f(6,8) \leq 60$$

$$0 \leq f(7,8) \leq 100$$

$$0 \leq f(8,t) \leq 140$$

As dez primeiras restrições correspondem ao balanço do fluxo em cada nó da rede ; por convenção, adota-se sinal positivo para o fluxo saindo do nó e sinal negativo para o fluxo chegando ao nó. Assim, a primeira equação diz-se que o fluxo que sai do nó 1 é igual a  $v$  e a décima diz que o fluxo que chega ao nó 8 é igual a  $v$ ; as demais equações garantem que o fluxo que sai de qualquer nó intermediário é igual ao fluxo que a ele chega. As demais restrições

cões estabelecem limites inferior e superior para o fluxo nos arcos da rede.

O sistema de equações desse problema de fluxo máximo tem semelhança com o do problema de transbordo; é como se o parâmetro  $b_i$  dos nós intermediários fosse nulo. No entanto, o lado direito das equações do nó s e do nó t não é um termo independente, mas uma variável. Cada fluxo  $f(x,y)$  aparece duas vezes no sistema de equações: com coeficiente +1, na equação do nó origem x, e com coeficiente -1, na equação do nó de destino y. Esse sistema de equações é redundante, como pode ser constatado pela soma de todas as equações.

Por sua natureza, o modelo matemático do problema de fluxo máximo, poderia ser resolvido por um algoritmo de programação linear, como o simplex, mas não é o algoritmo usualmente adotado para sua resolução.

## 2. O Problema Genérico de Fluxo Máximo e o Seu Modelo Matemático

Considere-se um grafo orientado  $G_0 = (N, A_0)$  com as seguintes características: para cada arco  $(x,y)$

6

pertencente ao conjunto  $A_0$  há um limite superior  $c(x,y)$  para o fluxo  $f(x,y)$ , denominado capacidade do arco  $(x,y)$ ; no conjunto  $N$ , há dois nós particulares  $s$ , chamado de fonte, e  $t$ , chamado de sorvedouro. O problema de fluxo máximo corresponde a determinar qual é o maior fluxo que pode sair da fonte  $s$  e chegar ao sorvedouro  $t$ , obedecendo as restrições de capacidade dos arcos da rede. O modelo matemático para um problema genérico é:

maximizar  $v$

sujeito a restrições

$$\sum_{\substack{x \\ (s,x) \in A_0}} f(s,x) - \sum_{\substack{y \\ (y,s) \in A_0}} f(y,s) = v \quad (1)$$

$$\sum_{\substack{x \\ (r,x) \in A_0}} f(r,x) - \sum_{\substack{y \\ (y,r) \in A_0}} f(y,r) = 0 \quad \forall r \neq s, t \quad (2)$$

$$\sum_{\substack{x \\ (t,x) \in A_0}} f(t,x) - \sum_{\substack{y \\ (y,t) \in A_0}} f(y,t) = -v \quad (3)$$

$$0 \leq f(x,y) \leq c(x,y), \text{ todo } (x,y) \in A_0 \quad (4)$$

Ao contrário do que foi visto no modelo matemático do problema unidirecional, admite-se no caso genérico

que possa haver na rede arcos  $(y, s)$  chegando ao nó  $s$  e arcos  $(t, x)$  saindo do nó  $t$

### 3. O conceito de corte na rede separando a fonte $s$ do sorvedouro $t$

Sejam  $X$  e  $Y$  dois subconjuntos de conjuntos de  $N$ ; será utilizada a notação  $(X, Y)$  para designar o subconjunto de arcos de  $\text{A}_0$   $(x, y)$  com  $x \in X$  e  $y \in Y$ . Isto é

$$(X, Y) = \{(x, y) \in \text{A}_0 : x \in X, y \in Y\}$$

Seja  $X$  um subconjunto de  $N$  contendo o nó  $s$  (fonte) e não contendo o nó  $t$  (sorvedouro) e seja  $\bar{X}$  o seu complemento em  $N$ ; obviamente  $\bar{X}$  contém o sorvedouro  $t$  (e não contém a fonte  $s$ ). O conjunto de arcos  $(X, \bar{X})$  é chamado de corte <sup>no grafo</sup> separando a fonte  $s$  do sorvedouro  $t$ .

Para uma melhor compreensão do conceito de corte no grafo separando a fonte  $s$  do sorvedouro  $t$ , será utilizado o exemplo introduzido. São exami-

nados, a seguir 3 cortes diferentes.

$$1 - X_1 = \{s\}, \bar{X}_1 = \{1, 2, 3, 4, 5, 6, 7, 8, t\}$$

$$(X_1, \bar{X}_1) = \{(s, 1), (s, 2), (s, 3)\}$$

$$2 - X_2 = \{s, 1, 2, 3, 4\}, \bar{X}_2 = \{5, 6, 7, 8, t\}$$

$$(X_2, \bar{X}_2) = \{(1, 5), (2, 5), (3, 5), (3, 6), (4, 8)\}$$

$$3 - X_3 = \{s, 1, 2, 3, 4, 5, 6, 7, 8\}, \bar{X}_3 = \{t\}$$

$$(X_3, \bar{X}_3) = \{(6, t), (7, t), (8, t)\}$$

A Figura 2 mostra estes 3 cortes, denotados por  $C_1$ ,  $C_2$  e  $C_3$ , respectivamente. A capacidade de um corte separando a fonte  $s$  do sorvedouro  $t$  é igual a soma das capacidades dos arcos deste corte. Assim a capacidade do corte  $(X_1, \bar{X}_1)$ , denominada  $c(X_1, \bar{X}_1)$  é

$$c(X_1, \bar{X}_1) = c(s, 1) + c(s, 2) + c(s, 3) = 350$$

Observe-se que, se os 3 arcos  $(s, 1)$ ,  $(s, 2)$  e  $(s, 3)$  deste corte  $C_1$  forem retirados do grafo, o fluxo entre a fonte  $s$  e o sorvedouro  $t$  será nulo.

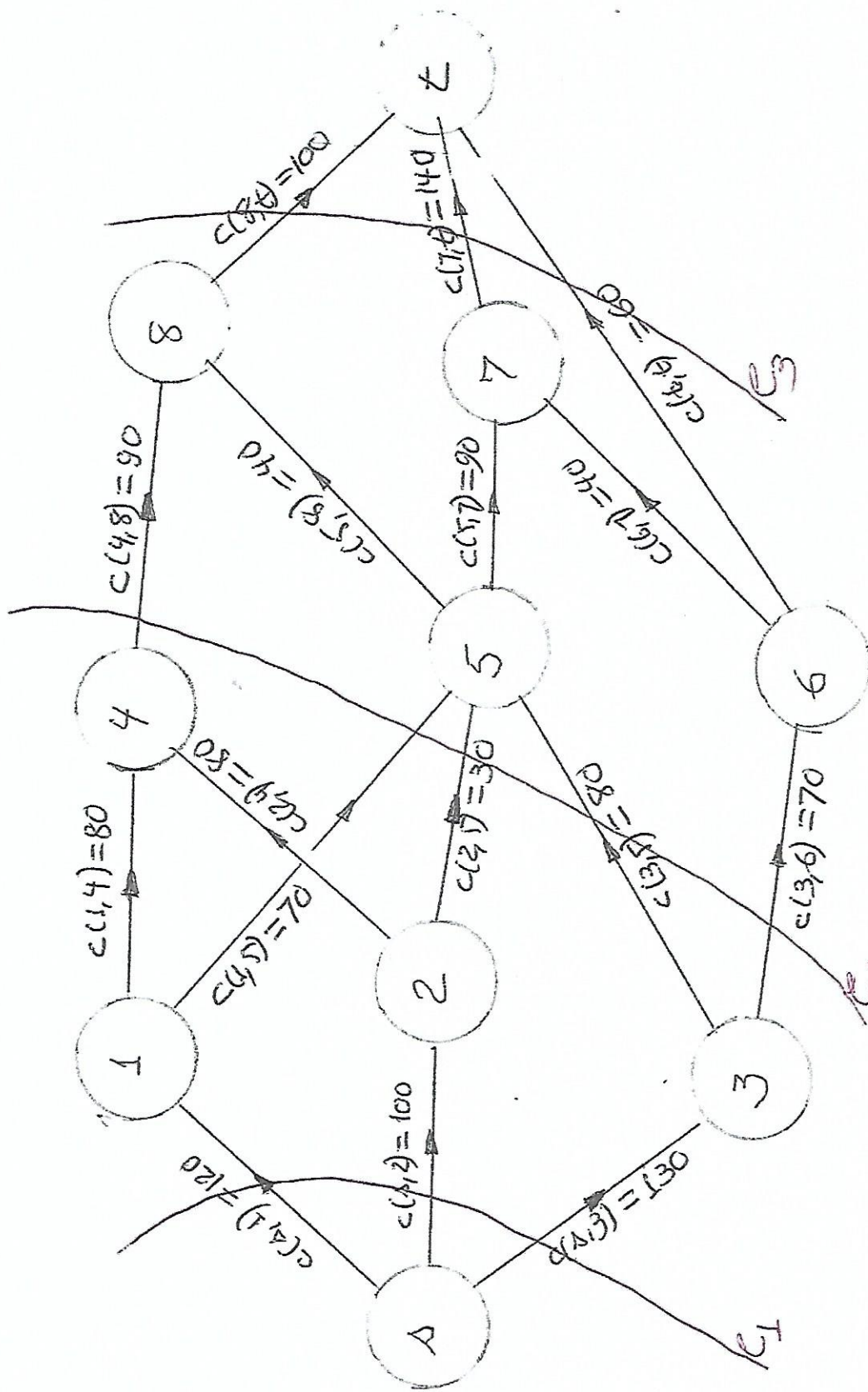


Figura 2 - Cortes  $G_1$ ,  $G_2$  e  $G_3$  separam a fonte  $s$  da  
sorvedoria  $t$

Conclui-se, então, que para qualquer solução viável do modelo matemático do problema introdutório de fluxo máximo, apresentado nas páginas 3 e 4, o fluxo v da fonte s para o sorvedouro t não poderá ser maior que  $c(X_s, \bar{X}_t) = 350$

O mesmo raciocínio se aplica aos cortes  $G_2$  e  $G_3$ ; o valor da capacidade de cada um desses cortes é:

$$c(X_2, \bar{X}_2) = c(4,5) + c(2,5) + c(3,5) + c(3,6) + c(4,8) = 340$$

$$c(X_3, \bar{X}_3) = c(6,t) + c(7,t) + c(8,t) = 300$$

Desta forma, cada corte no grafo orientado  $G_0 = (N, A_0)$  separando a fonte s do sorvedouro t, impõe um limite superior para a quantidade do produto que pode ser transportado da fonte para o sorvedouro. A seguir serão formalizadas as relações entre capacidade de corte e o fluxo v entre a fonte s e o sorvedouro t.

#### 4. Propriedades Relacionando Capacidade de Corte e o Fluxo v entre a Fonte s e o Sorvedouro t

4.1 Sejam  $(x,y), (x,y) \in A_0$  e  $v$  uma solução viável para o modelo matemático do problema de fluxo máximo apresentado na página 6 e  $(X, \bar{X})$  um corte qualquer no grafo separando a fonte s dos sorvedouros. Então,  $v \leq c(X, \bar{X})$

## Demonstrações

Faça a soma da equação 1 com as equações 2 para nós  $n$  pertencentes ao conjunto  $X$ . Para qualquer arco  $(x, y) \in A_0$ , com  $x$  e  $y$  pertencentes ao conjunto  $X$ , o fluxo  $f(x, y)$  aparece com coeficiente  $+1$  na equação do nr  $x$  e com coeficiente  $-1$  na equação do nr  $y$ , não aparecendo no resultado da dessa soma. Portanto, o resultado é:

$$\sum_{(x, \bar{x}) \in (X, \bar{X})} f(x, \bar{x}) - \sum_{(\bar{y}, y) \in (\bar{X}, X)} f(\bar{y}, y) = v \quad (5)$$

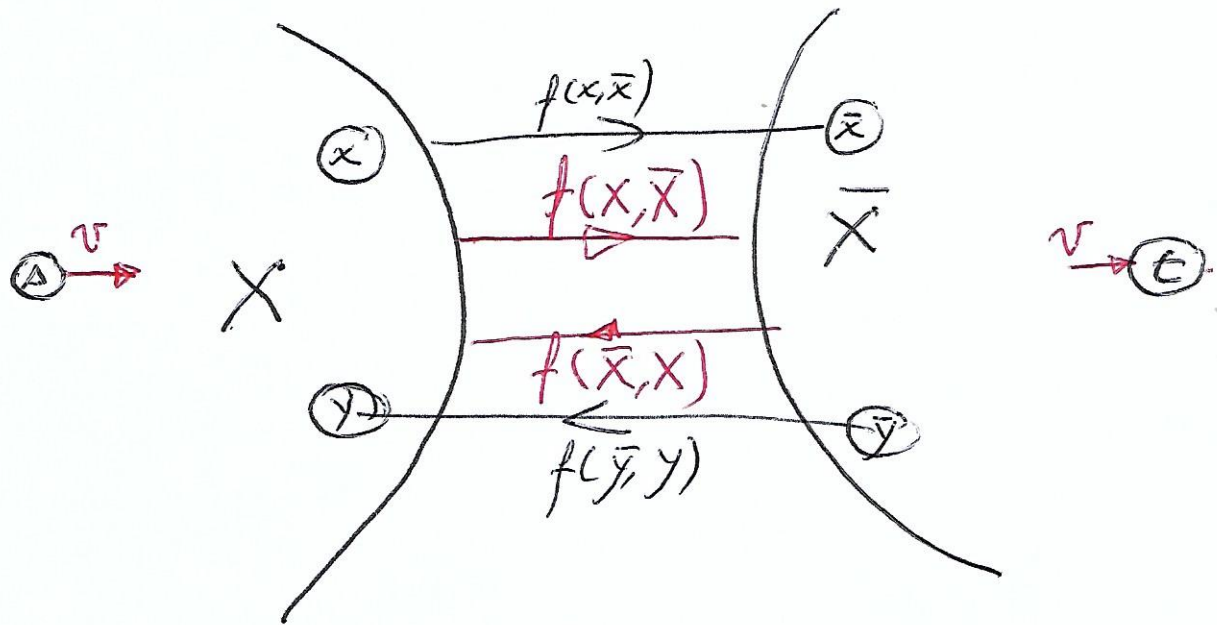
ou

$$f(X, \bar{X}) - f(\bar{X}, X) = v \quad (5')$$

Dado que  $f(X, \bar{X}) \leq c(X, \bar{X})$  e  $f(\bar{X}, X) \geq 0$ , conclui-se que

$$v \leq c(X, \bar{X}) \quad (6)$$

A Figura 3 mostra, de forma esquemática, as variáveis envolvidas na equação (5').



$$v = f(x, \bar{x}) - f(\bar{x}, x) \leq c(x, \bar{x})$$

Figura 3 Fluxos do conjunto \$X\$ para \$\bar{X}\$ e do conjunto \$\bar{X}\$ para o conjunto \$X\$

4.2 O fluxo máximo \$v^\*\$ entre a fonte 1 e o sorvedouro \$t\$ é igual à capacidade mínima dos cortes \$(X, \bar{X})\$ separando \$s\$ de \$t\$.

## Demonstração

1 - A respeito das soluções do modelo matemático do problema de fluxo máximo, representado pelas relações (1), (2), (3) e (4) da página 6, pode se afirmar:

a) ele tem solução viável, dado que  $f(x,y) = 0$ , todo  $(x,y) \in A_0$  e  $v = 0$  é uma solução viável;

b) como de acordo com a propriedade anterior a função objetivo  $v$  é limitada superiormente pela capacidade do qualquer corte  $(X, \bar{X})$  separando a fonte  $s$  do sinkorvo  $t$ , então o problema de fluxo máximo (PFM) tem solução ótima.

Sejam  $f^*(x,y)$ ,  $(x,y) \in A_0$  e  $v^*$  os valores correspondentes à solução ótima do PFM; o caminho para a demonstração é encontrar um corte  $(X^*, \bar{X}^*)$  tal que

$$c(X^*, \bar{X}^*) = v^*$$

2 - Construção do conjunto  $X^*$

a) No inicio  $X^* = \{s\}$

b) Passo 1

$b_1$  Se  $(s,x) \in A_0$  e  $f^*(s,x) < c(sx)$ , incluir  $x$  em  $X^*$

b<sub>2</sub> Se  $(y, \lambda) \in f_0$  e  $f^*(y, \lambda) > 0$ ,  
incluir  $y$  em  $X^*$

c) Passo genérico Seja  $x \in X^*$  e considere nós  
ainda não pertencentes a  $X^*$  ligados ao nó  $x$ .

c<sub>1</sub>) Se  $y \notin X^*$  e  $f(x, y) < c(x, y)$ ,  
então incluir  $y$  no conjunto  $X^*$ ,

c<sub>2</sub>) Se  $z \notin X^*$  e  $f^*(z, x) > 0$ , então  
incluir  $z$  no conjunto  $X^*$

O processo de construção de  $X^*$  termina quando não há mais  
nó a ser incluído no conjunto; o nó  $t$  não é  
incluído no conjunto  $X^*$ . Caso o nó  $t$  viesse a  
ser incluído em  $X^*$ , não seria obtido um corte  
separando a fonte  $s$  do sobreduto  $t$ .

$(X^*, \bar{X}^*)$  separando a fonte  $s$  do corte  $\underline{X}^*$   
Para provar que o nó  $t$  não é incluído no conjunto  $X^*$   
será admitido que ele fosse colocado no conjunto  $X^*$  e  
mostrada a contradicção que tal hipótese gera.

De fato, se  $t$  é incluído no conjunto  $X^*$ , haverá  
uma trajetória (não orientada)

$$s = x_0, x_1, x_2, \dots, x_{n-1}, x_n, x_{n+1} = t$$

em que cada nó  $x_{i+1}$ ,  $i+1 = 2, \dots, n+1$  é

incluído no conjunto pelo processo de construção  
a partir do nó  $x_i$ . Desta forma, caso se  
trate de um arco denominado direto  $(x_i, x_{i+1})$ ,  
 $f^*(x_i, x_{i+1}) < c(x_i, x_{i+1})$ . Em caso contrário,

se há o arco dito reverso  $(x_{i+1}, x_i)$ , então  
 $f^*(x_{i+1}, x_i) > 0$ . Sejam, então:

$$\varepsilon_1 = \min_{\text{arcos diretos}} \{ c(x_i, x_{i+1}) - f^*(x_i, x_{i+1}) \}$$

$$\text{e } \varepsilon_2 = \min_{\text{arcos reversos}} \{ f^*(x_{i+1}, x_i) \}$$

$$\text{e } \varepsilon = \min \{ \varepsilon_1, \varepsilon_2 \}$$

Sume-se, então,  $\varepsilon$  aos fluxos  $f^*(x_i, x_{i+1})$  em todos os arcos diretos e reduza-se de  $\varepsilon$  os arcos reversos  $(x_{i+1}, x_i)$ .

Com tal procedimento, continuam sendo satisfeitas as restrições (2), para os nós intermediários da rede, e (4), para os arcos da rede, do modelo matemático de problema de fluxo máximo, e há um aumento de  $\varepsilon$  no fluxo saendo do nó fonte  $s$  e no fluxo chegando ao nó sorvedouro  $t$ . Isto é uma contradição ao que foi, para os fluxos  $f^*(x, y)$  nos arcos da rede, já se tinha chegado à situação de fluxo máximo  $v^*$ .

A figura 4 ilustra a argumentação acima, mostrando a trajetória, com arcos diretos e reversos desde o nó fonte  $s$  até o sorvedouro  $t$ .

Defas de mostrar que  $t$  não pertence a  $X^*$ , falta mostrar que a capacidade do corte  $(X^*, \bar{X}^*)$  é igual ao fluxo máximo  $v^*$ . Para tanto, convém

salientar que pelo processo de consturação do conjunto  $X^*$ :

1 - para todo arco  $(x, \bar{x}) \in (X^*, \bar{X}^*)$ ,

$$f^*(x, \bar{x}) = c(x, \bar{x}) ;$$

2 - para todo arco  $(\bar{y}, y) \in (\bar{X}^*, X^*)$

$$f^*(\bar{y}, y) = 0$$

Então é:

$$f^*(X^*, \bar{X}^*) = c(X^*, \bar{X}^*) \quad (7)$$

$$f^*(\bar{X}^*, X^*) = 0 \quad (8)$$

Observando que a equação (5) se aplica para qualquer condição de fluxo viável e para qualquer corte separando a fonte  $s$  do reservatório  $t$ , para a condição de fluxo máximo e para o corte  $(X^*, \bar{X}^*)$ , obtém-se o resultado

$$f^*(X^*, \bar{X}^*) - f^*(\bar{X}^*, X^*) = c(X^*, \bar{X}^*) = v^* \quad (9)$$

A figura 5 mostra, de forma esquemática, um corte de capacidade mínima. O processo de consturação aína descrito encontra um corte de capacidade mínima, mas pode haver outros. Sendo assim, pode ser que um investimento para ampliar a capacidade de algum dos arcos do corte encerrado  $(X^*, \bar{X}^*)$  não gere aumento do fluxo entre a fonte e o reservatório.

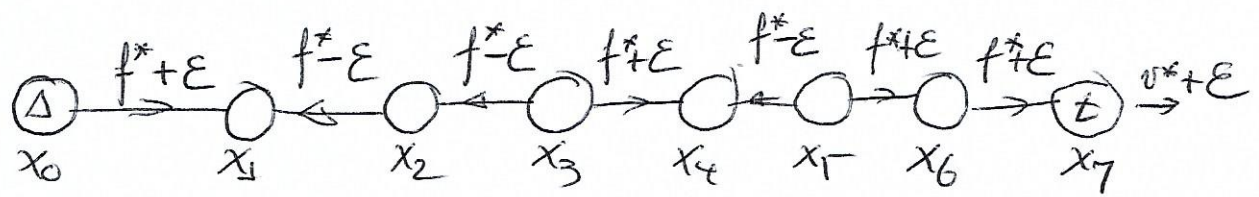


Figura 4 Trajetória hipotética, com arcos diretos e arcos reversos para o aumento do fluxo entre  $s$  e  $t$

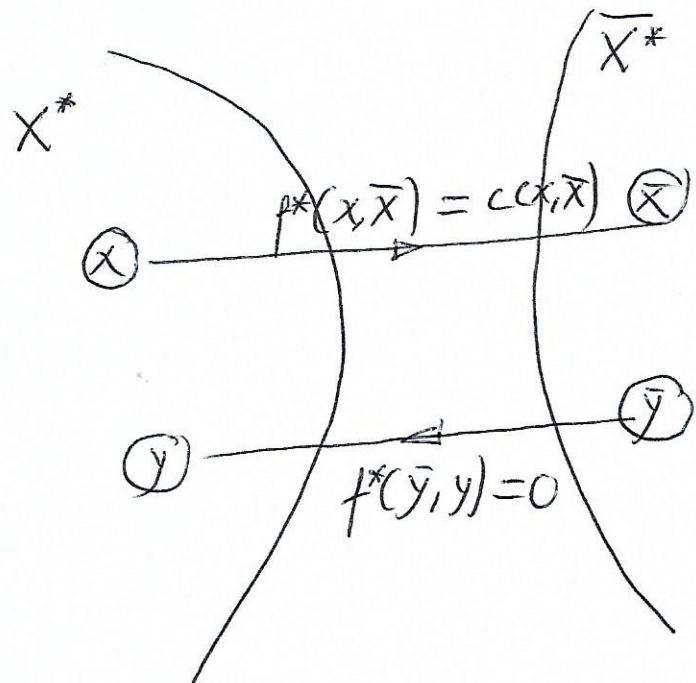


Figura 5 Ilustração esquemática dos fluxos de  $X^*$  para  $\bar{X}^*$  e de  $\bar{X}^*$  para  $X^*$  quando  $(X^*, \bar{X}^*)$  é um corte de capacidade mínima.

Contém apresentar um último comentário com respeito à demonstração dessa segunda propriedade.

Não obstante, a trajetória  $s = x_0, x_1, x_2, \dots, x_{n-1}, x_n, x_{n+1} = t$  no caso seja hipotética, o conceito de trajetória de aumento fluxo entre a fonte  $s$  e o sorvedouro  $t$  é peça fundamental do algoritmo de Ford-Fulkerson para determinação do fluxo máximo entre  $s$  e  $t$ .

Os valores de  $\epsilon_1, \epsilon_2$  são atualizados sequencialmente até chegar ao nó  $t$ , durante a rotina de geração de etiquetas.

## 5 Algoritmo de Ford-Fulkerson para determinação do fluxo máximo entre os nós $s$ e $t$ de um grafo orientado.

O algoritmo de Ford-Fulkerson para determinação do fluxo máximo entre os nós  $s$  (fonte) e  $t$  (sorvedouro) é constituído por duas rotinas que interagem conforme se observa na Figura 6: rotina de geração de etiqueta para os nós da rede e rotina de mudança de fluxo no arco da rede. Na primeira rotina, busca-se, a cada iteração, encontrar uma trajetória de aumento de fluxo, partindo do nó fonte  $s$  e chegando ao nó  $t$  (sorvedouro). Trata-se de uma trajetória  $s = x_0, x_1, x_2, \dots, x_{n-1}, x_n, x_{n+1} = x_0$ , como a mencionada anteriormente na demonstração da pro-

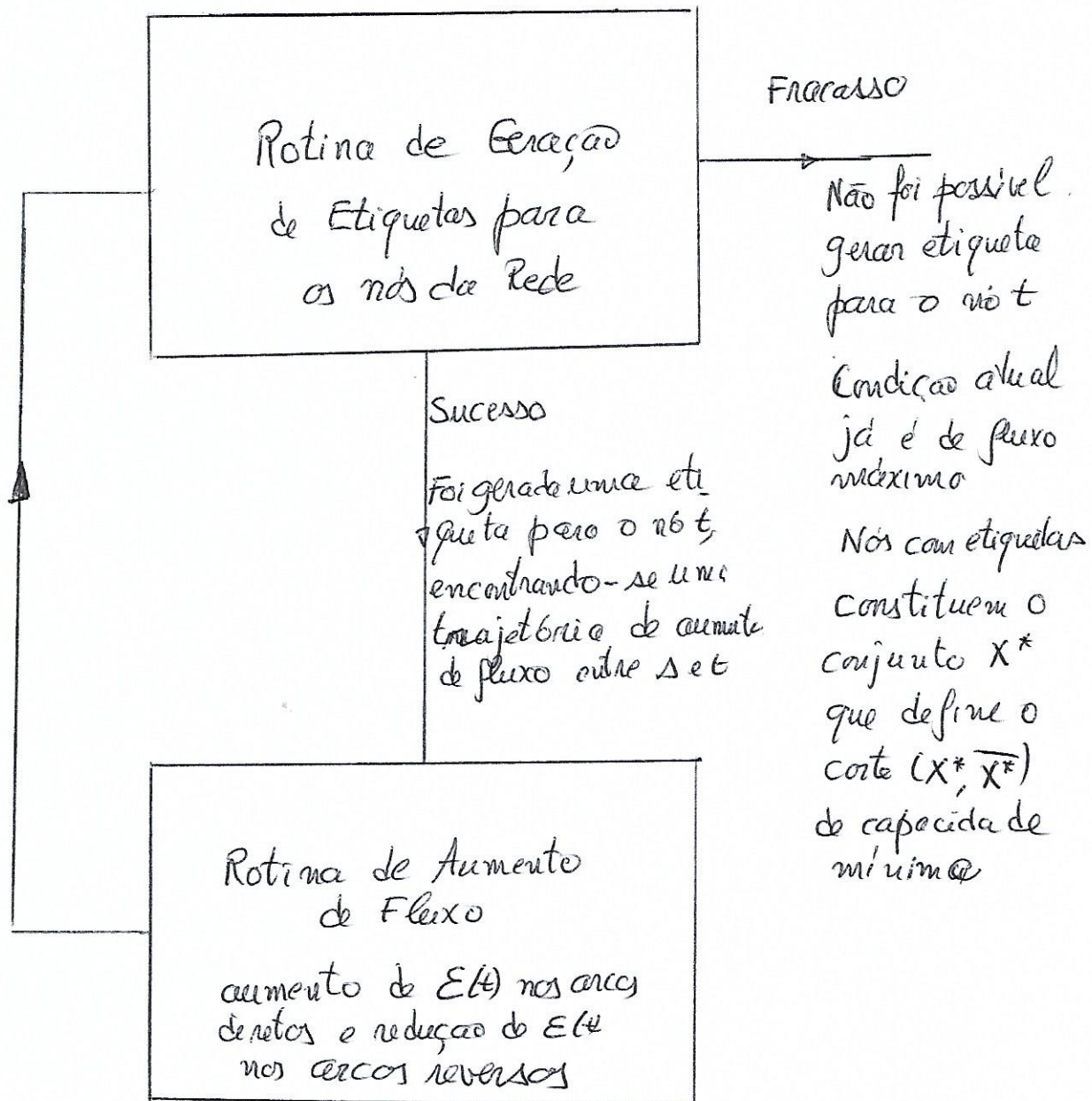


Figura 6 As rotinas do algoritmo de Ford-Fulkerson para determinação do fluxo máximo entre a fonte e o sink do um grafo orientado

puncto de 2; ela pode conter arcos diretos  $(x_i, x_{i+1})$  e arcos reversos  $(x_{i+1}, x_i)$ . O processo de geração de etiquetas é o instrumento utilizado na busca de uma trajetória de aumento de fluxo; ele tem sucesso, numa dada iteração, quando é possível atribuir uma etiqueta ao nó  $t$ , e fracassa quando não é possível gerar tal etiqueta. Em caso de sucesso, passa-se para a rotina de mudança de fluxo nos arcos da trajetória edificada: aumento de fluxo nos arcos diretos e redução de fluxo nos arcos reversos. Em caso de fracasso, os fluxos atuais correspondem a uma solução ótima e o conjunto de nós com etiqueta na iteração mal sucedida,  $X^*$ , define um corte de capacidade mínima  $(X^*, \bar{X}^*)$ . A seguir, são descritas cada uma dessas rotinas.

### Rotina de Geração de Etiquetas para os Nós

1 - O nó  $A$  recebe a etiqueta  $(-, \infty)$ , indicando que não há antecessor para ele na trajetória de aumento de fluxo e que até ele não há restrição para o aumento de fluxo na rede.

2 - Geração de etiquetas a partir do nó  $S$

2a) Considere todo nó  $x$  para o qual existe o arco  $(s, x)$  e tenha  $f(s, x) < c(s, x)$ ; atribua ao nó  $x$  a etiqueta  $(s^+, \epsilon(x) = c(s, x) - f(s, x))$ . O parâmetro  $\epsilon(x)$  indica qual é o aumento possível de fluxo desde o nó  $s$  até o nó  $x$ ;  $s^+$  indica que, na trajetória de aumento de fluxo que se busca construir, o antecessor do nó  $x$  é o nó  $s$ , por meio de um arco direto  $(s, x)$ .

2b) Considere todo nó  $y$  para o qual existe o arco  $(y, s)$ , no qual  $f(y, s) > 0$ ; atribua ao nó  $y$  a etiqueta  $(s^-, \epsilon(y) = f(y, s))$ . O parâmetro  $\epsilon(y)$  indica qual é o aumento possível de fluxo desde o nó  $s$  até o nó  $y$  (obtido às custas da redução do fluxo  $f(y, s)$ );  $s^-$  indica que, na trajetória de aumento de fluxo que se busca construir, o antecessor do nó  $y$  é o nó  $s$ , mediante um arco reverso  $(y, s)$ .

A Figura 7 ilustra o procedimento para a geração de etiquetas a partir do nó  $s$  (fonte).

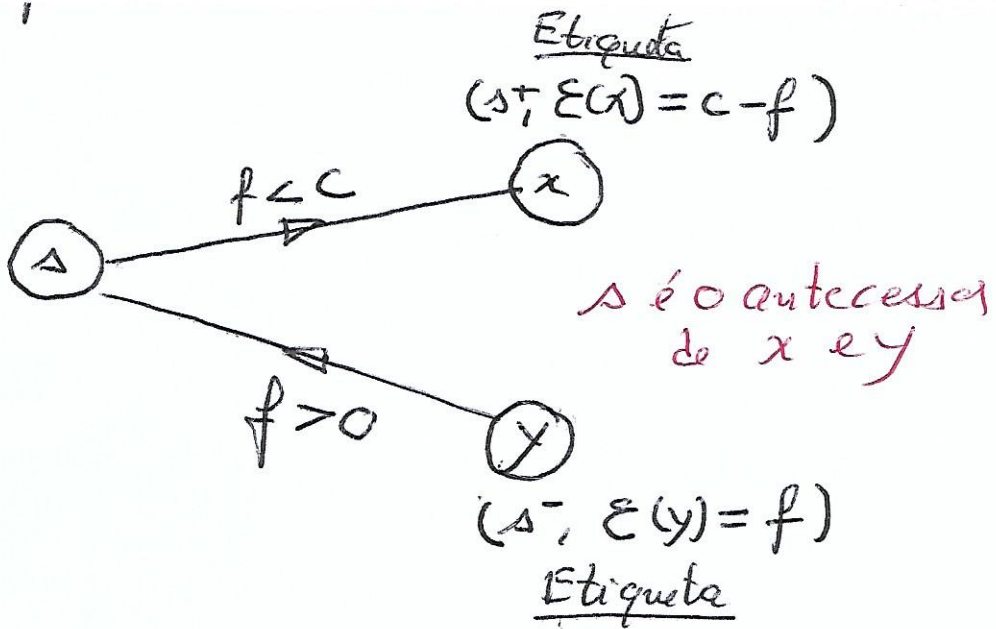


Figura 7 Ilustração esquemática da geração de etiquetas a partir da fonte  $\Delta$ .

3. Geração de etiquetas a partir de um nó genérico  $z$  já etiquetado

3a) Considere todo nó não etiquetado  $x$  para o qual existe o arco orientado  $(z, x)$ , no qual  $f(z, x) < c(zx)$ . Attribua ao nó  $x$  a etiqueta  $(z^+, \epsilon(x) = \min\{\epsilon(z), c(zx) - f(z, x)\})$ . O parâmetro  $\epsilon(x)$  indica qual é o possível aumento de fluxo desde a fonte  $\Delta$  até o nó  $x$ , na trajetória de aumento de fluxo que se busca construir, a etiqueta informa ainda que o antecessor do nó  $x$  é o nó  $z$ , por meio de um arco direto  $(z, x)$ .

3b) Considere todo nó não etiquetado  $y$  para o qual existe o arco  $(y, z)$ , no qual  $f(y, z) > 0$ . Atribua ao nó  $z$  a etiqueta  $(z^+, E(y)) = \min\{E(z), f(y, z)\}$ . O parâmetro  $E(y)$  indica qual é o aumento possível de fluxo desde a fonte  $s$  até o nó  $y$  numa trajetória de aumento de fluxo que se busca construir; a etiqueta informa ainda que o antecessor do nó  $y$ , na trajetória que se busca construir, é o nó  $z$ , por meio de um arco reverso  $(y, z)$ .

A Figura 8 ilustra o procedimento para a geração de etiquetas a partir de um nó genérico  $z$ .

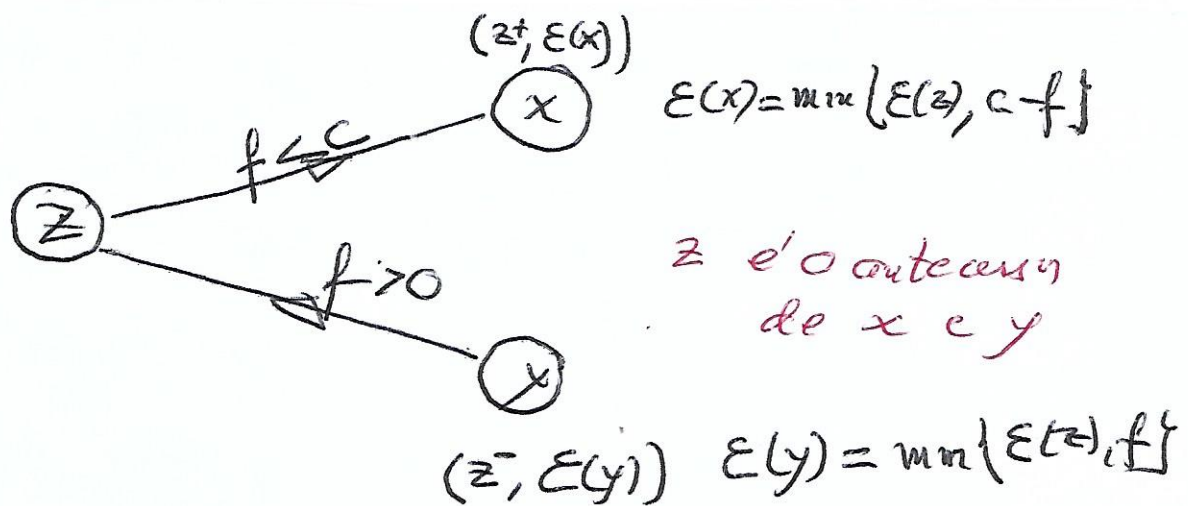


Figura 8 Ilustração esquemática da geração de etiquetas a partir de um nó genérico  $z$ .

## Rotina de Aumento de Fluxo

Enquanto a rotina de geração de etiquetas comece a partir do nó  $s$ , com o objetivo de construir uma trajetória de aumento de fluxo  $s, x_1, x_2, \dots, x_{n-1}, t$ , a rotina de alteração dos fluxos nos arcos da trajetória começa a partir do nó  $t$ .

1a) Caso o nó  $t$  tenha recebido a etiqueta  $(x^+, \varepsilon(t))$ , aumente o fluxo no arco  $(x, t)$  de  $f(x, t)$  para  $f(x, t) + \varepsilon(t)$ .

1b) Caso o nó  $t$  tenha recebido a etiqueta  $(x^-, \varepsilon(t))$ , reduza o fluxo no arco  $(t, x)$  de  $f(t, x)$  para  $f(t, x) - \varepsilon(t)$ .

Depois de atualizar o fluxo que chega ao nó  $t$ , passa-se a atualizar o fluxo que chega ao nó  $x$ , examinando-se sua etiqueta para buscar o seu antecessor na trajetória de aumento de fluxo.

2a) Caso o nó  $x$  tenha recebido a etiqueta  $(y^+, \varepsilon(x))$ , aumente o fluxo no arco  $(y, x)$  de  $f(y, x)$  para  $f(y, x) + \varepsilon(t)$ .

2b) Caso o nó  $x$  tenha recebido a etiqueta  $(y^-, \varepsilon(x))$ , reduza o fluxo no arco  $(x, y)$  de  $f(x, y)$  para  $f(x, y) - \varepsilon(t)$ .

Tal procedimento é repetido sucessivamente, até chegar ao nó s.

## 6 - Aplicações do Algoritmo Ford-Fulkerson

O algoritmo de Ford-Fulkerson pode ser aplicado a partir de qualquer configuração de fluxo inicial na rede; a configuração mais trivial é  $f(x, y) = 0$  para todo arco  $(x, y) \in A_0$ . Com o intuito de reduzir o número de iterações e gerar diferentes tipos de trajetórias de aumento de fluxo, adota-se a seguinte configuração inicial de fluxo na rede para aplicações do algoritmo de Ford-Fulkerson:

$$\begin{aligned} f(s, 1) &= f(1, 4) = f(4, 8) = f(8, t) = 80 \\ f(s, 2) &= f(2, 5) = f(5, 7) = f(7, t) = 30 \\ f(s, 3) &= f(3, 6) = f(6, t) = 60 \end{aligned}$$

com  $v = 170$

A Figura 9 ilustra esta configuração inicial de fluxo na rede; a Tabela 1 mostra as iterações das rotinas de geração de etiquetas e de aumento do fluxo entre s e t. As mudanças de fluxo são lançadas na Figura 6.

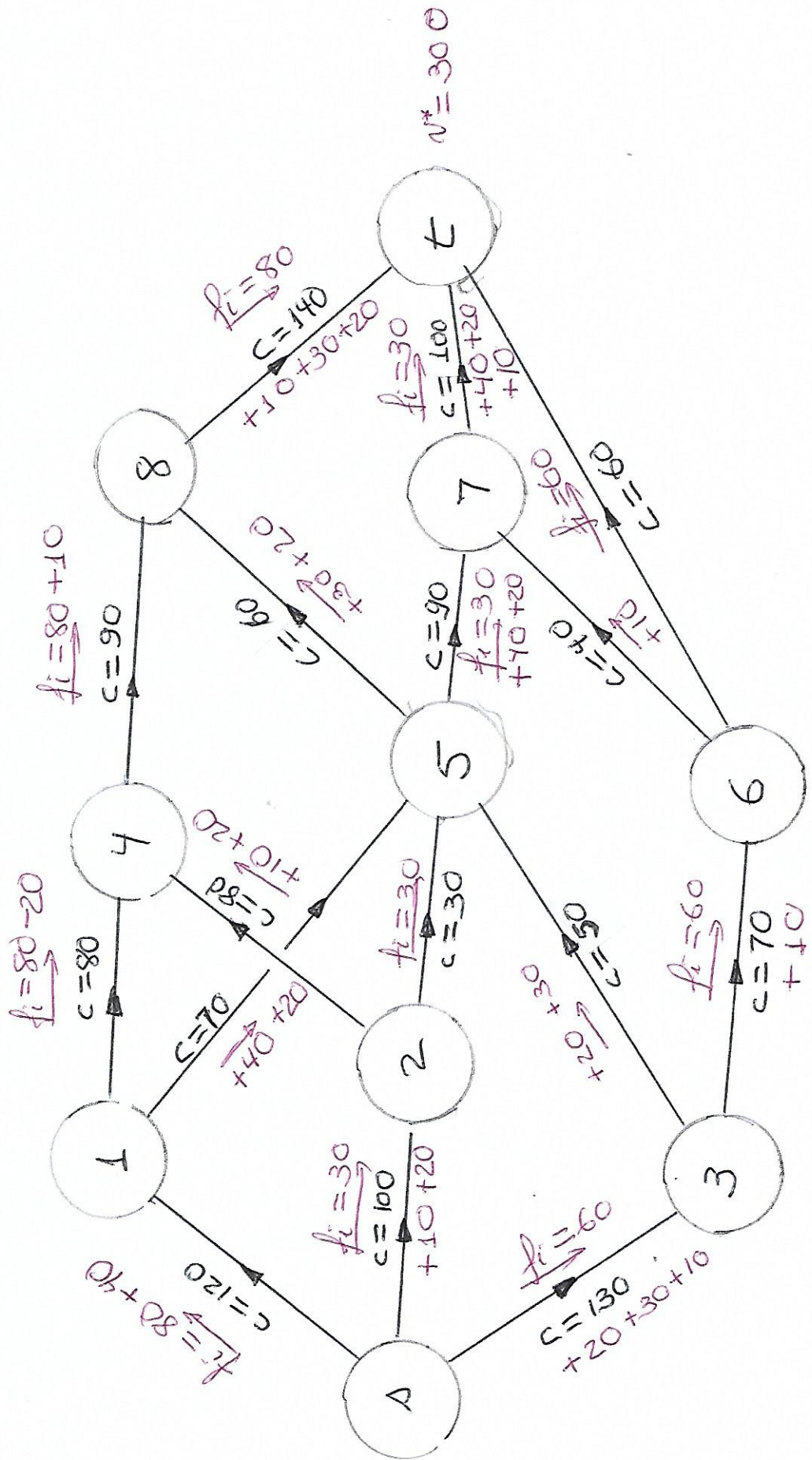


Figura 9 Conexão inicial da rede, fluxos  $f_i$ , e aumentos de fluxo gerados pelas iterações do algoritmo de Ford - Fulkerson

Tabela 1 - Iterações das Rotinas do Algoritmo Ford-Fulkerson

1ª Iteração		2ª Iteração	
Nós	Etiquetas	Nós	Etiquetas
$\Delta$	$(-, \infty)$	$\Delta$	$(-, \infty)$
1	$(s^+, 40)$	2	$(s^+, 70)$
2	$(s^+, 70)$	3	$(s^+, 70)$
3	$(s^+, 70)$		
5	$(1^+, 40)$	4	$(2^+, 70)$
4	$(2^+, 70)$	5	$(3^+, 50)$
6	$(3^+, 10)$	6	$(3^+, 10)$
7	$(5^+, 40)$	1	$(4^-, 70)$
8	$(5^+, 40)$	8	$(4^-, 10)$
$t$	$(7^+, 40)$	7	$(5^-, 20)$
		$t$	$(8^-, 10)$
$N = 210$		$N = 220$	
3ª Iteração		4ª Iteração	
Nós	Etiquetas	Nós	Etiquetas
$\Delta$	$(-, \infty)$	$\Delta$	$(-, \infty)$
2	$(s^+, 60)$	2	$(s^+, 60)$
3	$(s^+, 70)$	3	$(s^+, 50)$
4	$(2^+, 60)$	4	$(2^+, 60)$
5	$(3^+, 50)$	5	$(3^+, 30)$
6	$(3^+, 10)$	6	$(3^+, 10)$
1	$(4^-, 60)$	1	$(4^-, 60)$
7	$(5^-, 20)$	8	$(5^-, 30)$
8	$(5^-, 50)$	7	$(6^-, 10)$
$t$	$(7^-, 20)$	$t$	$(8^-, 30)$
$N = 240$		$N = 270$	

Tabela 1 Iterações das Rotinas do Algoritmo Ford-Fulkerson

5ª Iteração		6ª Iteração	
Nós	Etiquetas	Nós	Etiquetas
1	(-, $\infty$ )	+20	1
2	(1+, 60)	+20	2
3	(1+, 20)	+20	3
4	(2+, 60)	-20	4
6	(3+, 10)	+20	1
1	(4-, 60)	+20	5
7	(6+, 10)	+20	8
5	(1+, 30)	+20	t
t	(7+, 10)		
$N = 280$		$N = 300$	
7ª Iteração		Na sétima iteração não foi possível gerar uma etiqueta para o nó t; o conjunto de nós com etiquetas constitui o conjunto $X^*$ e o conjunto $(X^*, \bar{X}^*)$ tem capacidade mínima igual a $v^*$	
Nós	Etiquetas		
1	(-, $\infty$ )		
2	(1+, 40)		
3	(1+, 10)		
4	(2+, 40)		
1	(4-, 40)		
5	(1+, 10)		
8	(5+, 10)		

Dado que na 7<sup>a</sup> iteração não foi possível obter uma etiqueta a nó t e, assim, obter uma trajetória de aumento de fluxo entre a fonte s e o nó sobre dreno t, o fluxo v obtido na 6<sup>a</sup> iteração é o fluxo máximo,  $v^* = 300$ . O conjunto de nós com etiquetas na iteração 7 é o conjunto  $X^*$ , tal que  $c(X^*, \bar{X}^*) = v^*$ , isto é,  $(X^*, \bar{X}^*)$  é um corte de capacidade mínima. De fato,

$$X^* = \{s, 2, 3, 4, 5, 8\}$$

$$\bar{X}^* = \{6, 7, t\}$$

$$(X^*, \bar{X}^*) = \{(3, 6), (5, t), (8, t)\}$$

Portanto,

$$c(X^*, \bar{X}^*) = c(3, 6) + c(5, t) + c(8, t) =$$

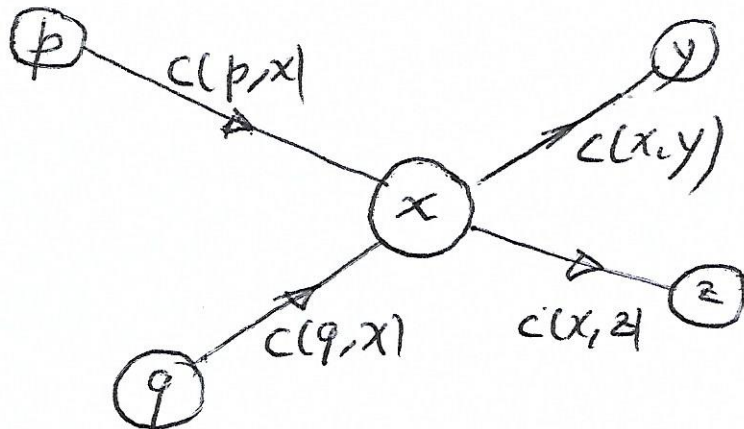
$$70 + 90 + 140 = 300 = v^*$$

Este corte de capacidade mínima foi identificado pelo algoritmo de Ford-Fulkerson; será que há outros?

## 7- Variantes do Problema de Fluxo Máximo

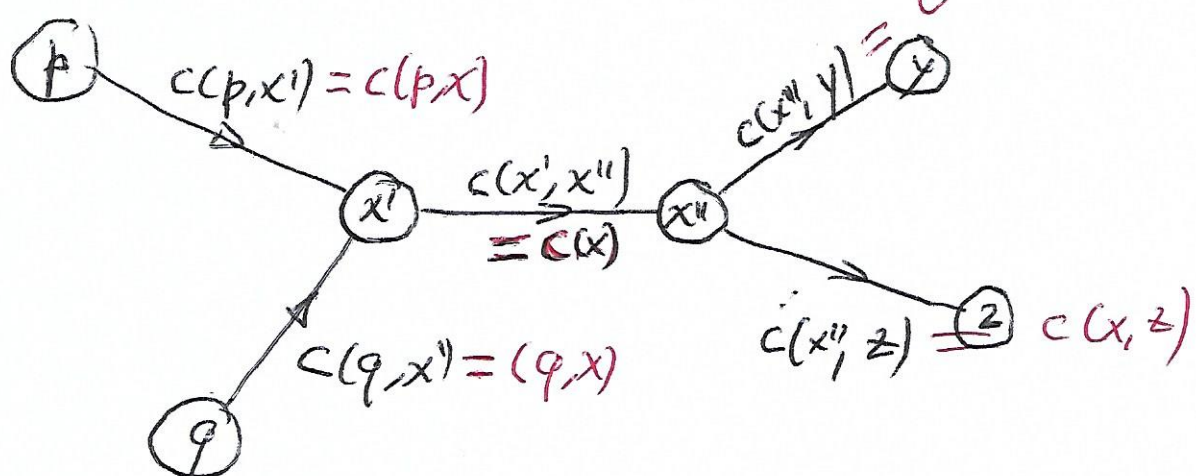
### 7.1 Restrição de capacidade em nós da rede orientada

Admita-se que um nó  $x$  de um grafo orientado, sobre o qual o problema de fluxo máximo é definido, seja um entroncamento hidro-ferroviário. A carga tem que ser transferida, por meio de equipamentos apropriados, de um modal para o outro, e este terminal de transbordo tem uma determinada capacidade de movimentação de carga. Seja  $c(x)$ , então, o limite ao fluxo pelo nó  $x$  imposto pelos equipamentos do terminal. A questão que se coloca é como tratar essa nova restrição com o algoritmo de Ford-Fulkerson desenvolvido para o caso em que somente há restrições de capacidade para os arcos  $(x, y)$  da rede. A solução é relativamente simples: basta alterar o grafo, conforme indicado na figura abaixo. O nó  $x$  é



Configuração original

† alterações



Configuração modificada

Modificação na rede original para tratamento da restrição de capacidade nos nós.

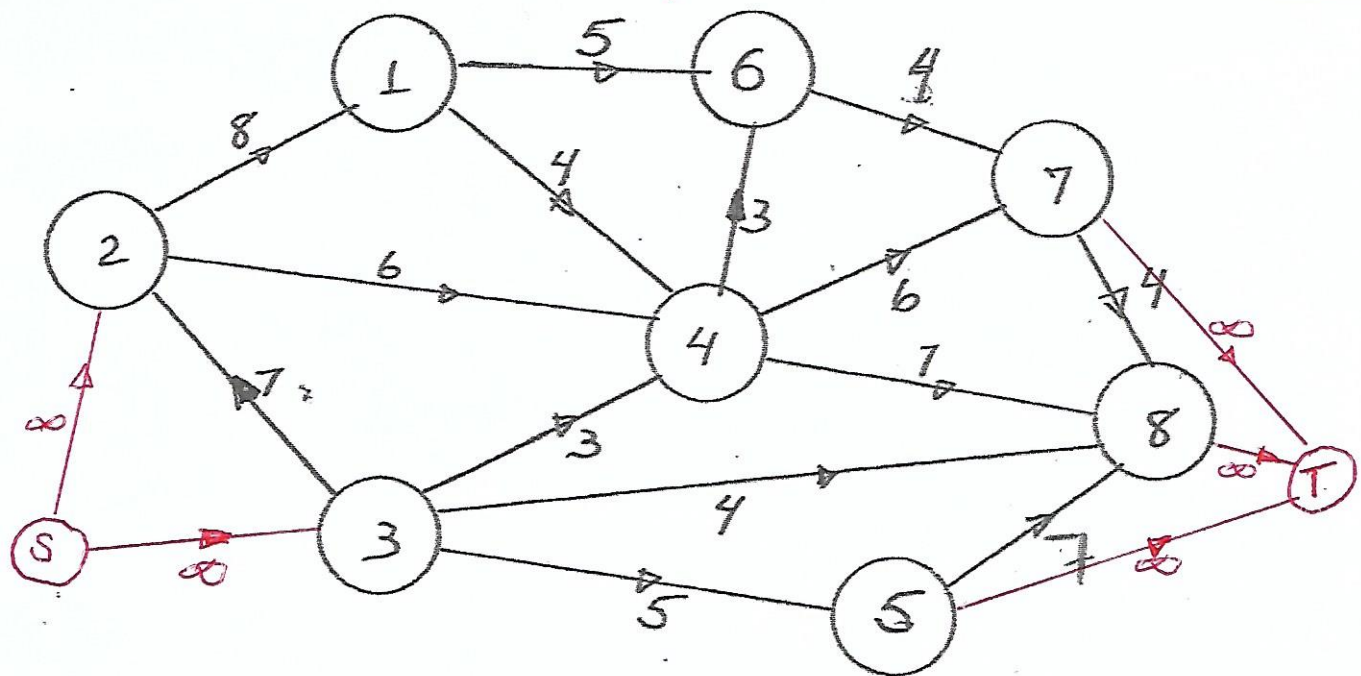
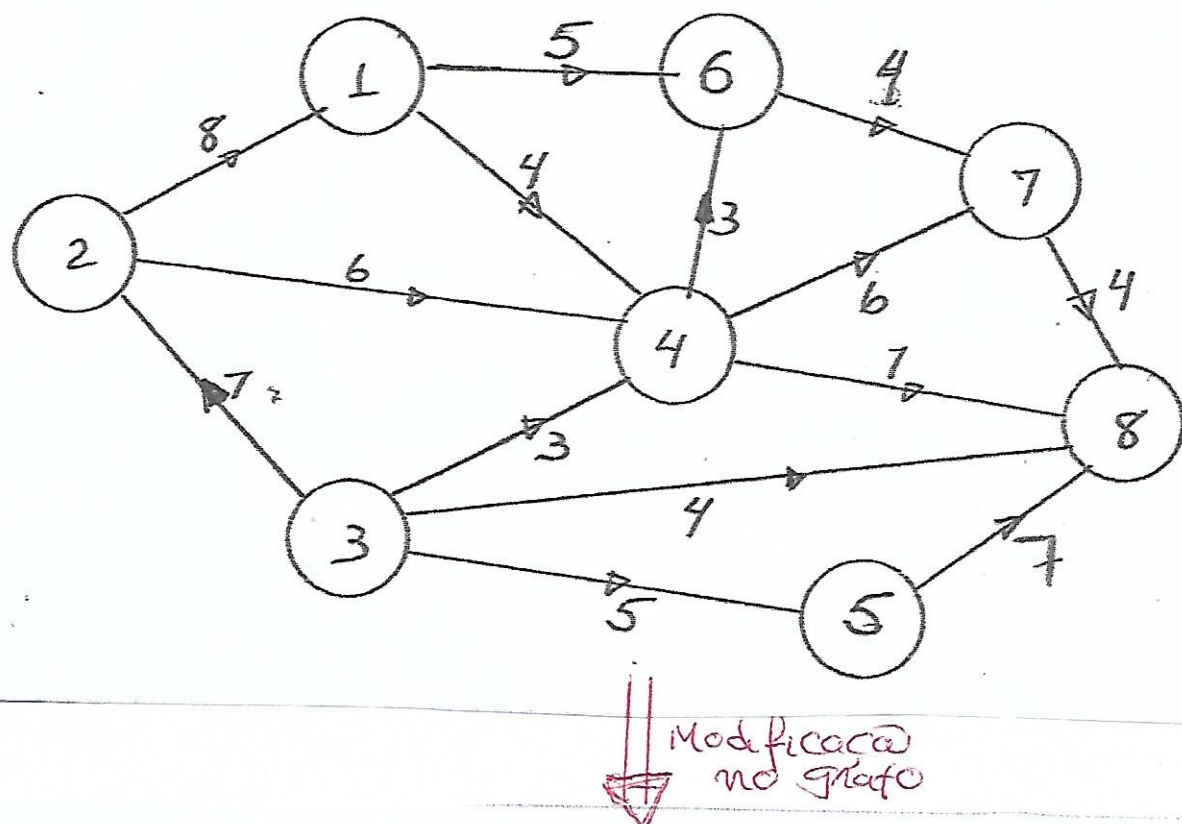
desmembrando um dos nós  $x'$  e  $x''$ , ligados por um arco orientado  $(x', x'')$ . A capacidade do arco  $(x', x'')$ ,  $c(x', x'')$  é igual a  $c(x)$ ;

os arcos que, na configuração original, chegam ao nó  $x$ , na configuração modificada chegam ao nó  $x'$ , mantendo as capacidades originais, isto é  $c(p, x) = c(p, x')$ ,  $c(q, x) = c(q, x')$ ; os arcos com origem no nó  $x$  na configuração original passam a ter origem no nó  $x''$ , mantendo também as capacidades originais, isto é  $c(x'', y) = c(x, y)$ ,  $c(x'', z) = c(x, z)$ .

## 7.2 Maior de uma Fonte e/ou Maior de um Sorvedouro

**Motivação** A figura abaixo mostra um grafo orientado no qual os nós 2 e 3 são centros produtores de soja e os nós 5, 7 e 8 são terminais marítimos de exportação deste produto. Considerando a capacidade dos arcos, qual é o máximo volume de exportação de soja? Com a finalidade de utilizar o algoritmo de Ford-Fulkerson, sem nenhuma alteração, o caminho a ser seguido é, como no caso anterior, modificar o grafo

original de modo que o grafo obtido teria uma única fonte e um único sorvedouro. Além disto, não devem ser introduzidas restrições adicionais ao fluxo de soja na rede.



Conforme se observa na figura acima, são introduzidos dois novos nós: S e T e arcos, com capacidade infinita ligando a superfície S aos centros produtores de soja e arcos, com capacidade infinita, ligando cada terminal marítimo ao super armazém T. No grafo alterado, deve-se determinar o fluxo máximo entre os nós S e T. Dado que os arcos incluídos no grafo têm capacidade infinita, eles não afetam o fluxo que pode ser encaminhado dos centros produtores de soja aos terminais marítimos de exportação.

### 7.3 Rede com Arcos Não Orientados

Conforme já mencionado no caso do problema de transbordo, quando se quer determinar o fluxo máximo soja de uma região produtora até um terminal de exportação, não há, a priori, na malha viária um sentido estabelecido para o fluxo entre dois nós quaisquer da rede. Entre muitos pares de nós x e y, a escolha do sentido de percurso que favorece o escoamento do produto da

fonte para o sorvedouro é óbvia, mas para alguns pares de nós a escolha prévia pode conduzir a uma solução sub-ótima. Em tais situações, é melhor considerar a existência de dois arcos orientados  $(x, y)$  e  $(y, x)$ , ambos com a mesma capacidade  $c(x, y) = c(y, x)$ .

Aplica-se, então, o algoritmo de Ford-Fulkerson ao grafo orientado resultante e, caso se encontre, para um desses pares de arcos, na solução ótima:

$$f^*(x, y) > 0 \text{ e } f^*(y, x) > 0$$

introduz-se a seguinte conexão:

$$f'(x, y) = \max \{0, f^*(x, y) - f^*(y, x)\}$$

$$f'(y, x) = \max \{0, f^*(y, x) - f^*(x, y)\}$$

#### 7.4 Redes com limites inferiores para o fluxo nos arcos.

Admita-se que, para um ou mais arcos orientados  $(x, y)$  da rede, seja imposto, por algum motivo, um limite inferior  $\ell(x, y) > 0$  para o fluxo nele arco. A questão que

se coloca é como tratar esse novo problema com os recursos mostrados anteriormente.

Ao contrário do problema clássico, não é possível garantir que haja solução viável para o problema de fluxo máximo quando são impostas restrições  $l(x,y) \leq f(x,y) \leq c(x,y)$ , com  $c(x,y) > 0$ . No entanto, se for dada uma solução viável inicial  $f(x,y)$ ,  $(x,y) \in E$ , e se para esse problema, é possível encontrar a solução ótima  $f^*(x,y)$ ,  $\forall^*$ , fazendo uma pequena alteração na etapa de geração de etiquetas do algoritmo de Ford-Fulkerson, no caso de arcos reversos.

Seja  $x$  um nó com etiqueta  $(pt, \varepsilon(x))$  e  $z$  um nó sem etiqueta para o qual exíta o arco  $(z,x)$ . Se  $f(z,x) > l(z,x)$  coloca-se em  $z$  a etiqueta  $(x, \varepsilon(z))$  com  $\varepsilon(z) = \min\{\varepsilon(x), f(z,x) - l(z,x)\}$

A figura abaixo mostra um corte separando a fonte  $s$  do reservatório; dado que

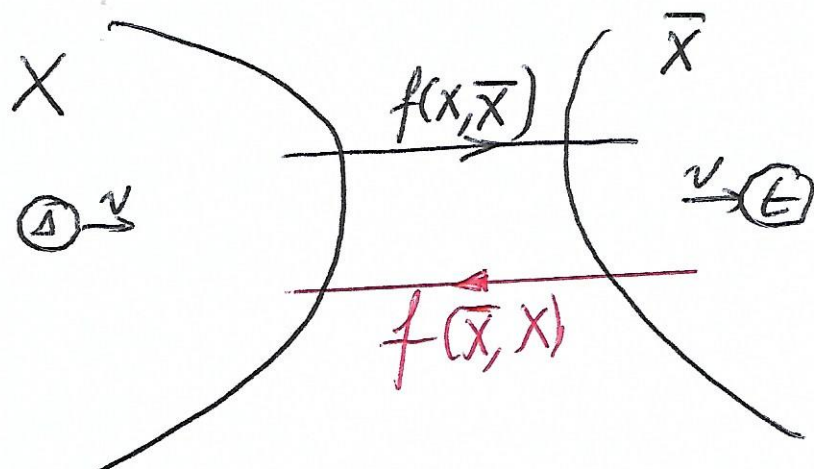
$$v = f(x, \bar{x}) - f(\bar{x}, x)$$

$$f \quad f(x, \bar{x}) \leq c(x, \bar{x})$$

$$f(\bar{x}, x) \geq l(\bar{x}, x)$$

para qualquer solução viável do problema de fluxo máximo neste caso

$$v \leq c(x, \bar{x}) - l(\bar{x}, x)$$

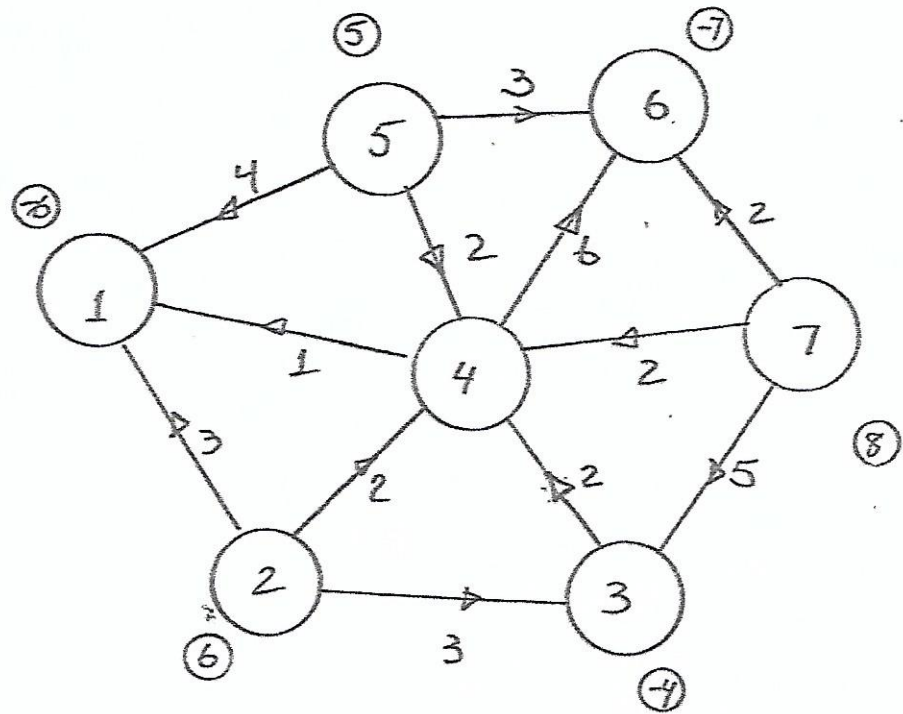


E, em consequência, resulta

$$v^* = \min_{(x, \bar{x})} \{ c(x, \bar{x}) - l(\bar{x}, x) \}$$

## 8. Viabilidade do Atendimento da Demanda em uma Rede Capacitada

No rede orientada da figura abaixo, os números ao lado dos nós indicam os valores de oferta/demanda, conforme a convenção utilizada no problema de transporte, enquanto os números junto aos arcos indicam a capacidade do arco, limite superior para o fluxo ao longo do arco. Embora a oferta global seja maior que a demanda global, a viabilidade de atender a demanda de cada centro consumidor depende das restrições impostas aos fluxos nos arcos da rede. Há dois caminhos para examinar esta viabilidade, um deles mais prático e o outro mais teórico, utilizando conhecimentos vistos anteriormente.

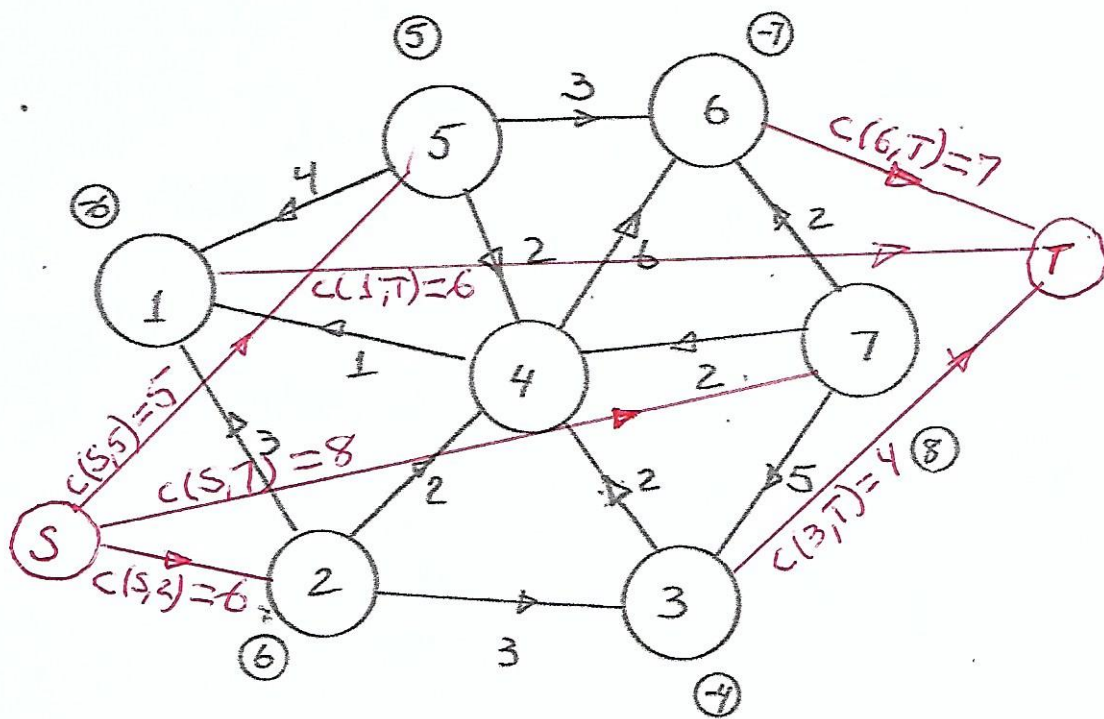


O procedimento mais prático consiste em resolver o problema de fluxo máximo em uma rede ampliada, mostrada na figura abaixo, com as seguintes características:

- 1 - São incluídos 2 novos na rede: S e T
- 2 - São incluídos arcos orientados  $(S, i)$  para todo nó  $i$  da rede original com  $b_i > 0$  (isto é centro produtor); a capacidade de um desses arcos  $(S, i)$  é igual à oferta  $b_i$  desse centro produtor  $i$ ,
- 3 - São incluídos arcos orientados  $(i, T)$  para todo nó  $i$  da rede original com  $b_i < 0$  (isto é centro consumidor); a capacidade de cada um desses arcos  $(i, T)$  é igual a  $-b_i$ , demanda do centro consumidor  $i$ .

Aplica-se, então, o algoritmo de Ford-Fulkerson para encontrar o fluxo máximo entre a fonte S e o reservatório T. Caso o fluxo máximo  $v^*$  seja igual à soma das demandas dos centros consumidores, conclui-se pela viabilidade de atendimento da demanda e um

corte de capacidade mínima  $(X^+, \bar{X}^+)$ . Isto é  $\bar{X}^+ = \{T\}$ . Caso o fluxo máximo  $v^*$  seja menor que a soma das demandas dos centros consumidores, haverá em pelo menos um dos arcos  $(i, T)$  do corte acima citado uma folga  $c(i, T) - f^*(i, T)$  que indica a demanda não atendida neste centro consumidor. Além disso, considerando-se o conjunto de nós etiquetados na última iteração (quando não se conseguiu colocar etiqueta no  $b(T) \setminus X^+$ ), identifica-se um corte cuja capacidade inviabiliza o atendimento da demanda.



Outra forma de examinar a viabilidade de atendimento da demanda é a seguinte.

Seja  $N$  o conjunto de nós da rede e  $X$  um subconjunto qualquer de  $N$ , com complemento  $\bar{X}$ ; considere-se a soma

$$S_X = \sum_{i \in X} b_i$$

Caso  $S_X < 0$ , existe um excesso de demanda no conjunto  $X$  (a soma das defasas é menor que a soma das demandas) que deverá ser provida por fluxos vindos do conjunto  $\bar{X}$ . Mas isto somente será viável se

$$c(\bar{X}, X) \geq -S_X \quad (*)$$

em que  $c(\bar{X}, X)$  é a capacidade do corte  $(\bar{X}, X)$  e  $-S_X$  é a demanda líquida do conjunto de nós pertencentes a  $X$ .

Observe-se que a restrição  $(*)$  deve ser atendida por todos os subconjuntos  $X$  de  $N$ .